

あふれのない浮動小数点表示方式[†]

松井 正一[‡] 伊理 正夫^{††}

従来の浮動小数点表現方式で問題となっていた指数部あふれを解決する新しい表現方式の提案を行う。新表現方式は、指数部と仮数部との境界を動的に変化させることにより、指数部あふれを防ぐとともに、普通の大きさの数に対してはより高い精度を確保することができる。また普通の数ではない数をいくつか考えることにより、「数の体系」を閉じたものとする。新しい表現方式が効果を発揮するような計算例も示す。

1. はじめに

数値計算に計算機を使う際には、実数（の近似値）を1語中に“浮動小数点”の形で表わすのが慣習になっている。初期の計算機では“固定小数点”が用いられたが、“桁取り（スケーリング）”の繁雑さのため、有効桁数の少々（指数部に割当てる分）の犠牲を払っても任意の大きさの数が同じ相対精度で取扱える浮動小数点方式に完全に軍配があがった。浮動小数点方式にも多くの変種があるが、最近では、IBM型の16進仮数部絶対値、指数部7ビット“げたばき”式の型が優勢である。経験が積まれるに従って、このIBM型に対する多くの不満が数値計算家の間に亢じている。最も切実な問題の一つに“あふれ（over-flow, under-flow）”がある。一松の解説⁶⁾にもこのような問題の指摘がある。一般に、Hamming⁴⁾も述べているように、計算が進むにつれて扱われる数の指数部の絶対値の範囲は広がるので、扱える数の範囲がたとえば $(16^{-2^4}, 16^{2^8}) \approx (10^{-77}, 10^{77})$ のように、あらかじめ限られないと、それからはみ出す数が生じやすい。それを防ぐために計算途上で数の大きさを常に検査するのではなく「スケーリングの心配無用」という浮動小数点方式の最大の特長が失われてしまう。一松⁶⁾に紹介されているKahanの提案は一言でいえば、(i)1語中で指数部に割当てる部分を増大させ、(ii)“非数”を導入しあふれた後の面倒をもみることにある。

その他、記数法の底（=2, 4, 8, 16等）の良し悪しについての議論^{1), 2)}（およびその参考文献）、通常のものとは異なる表示体系の提案^{3), 12)}等々、浮動小数点方式の本質的な問題への関心が最近高まりつつあるよ

うにみえる。

可変語長にすれば問題はすべて解決するという議論もあるが⁷⁾、非常に特殊な目的を除けば、通常の数値計算では一つの数値の担うべき“情報量”には当然限度があり、計算時間、記憶場所の経済性の点からも、これは考察の外としてよいであろう。

本論文では、「固定語長内で実数を近似的に表現する」という大前提のもとで、一つの理想的な方式を提案し、その特徴を調べ、それを具体的に実現し、それによる数値計算例を示す。

本論文で提案する方式の基本的な考え方を、形式ばらずに述べると、次の2点となる。(i)与えられた1語中に数を表現する際、より重要な情報から順に必要なビット数を割当てる（指数部に必要なだけのビット数をまず確保した後に、残りを仮数部に用いる；指数部だけでも入り切らなくなったら、指数部を更に浮動小数点表示にして、“指数部の指数部”に優先的な割当てをする；以下同様なことを繰り返す）。(ii)数値演算の結果が常にプログラムで取扱い可能な形である（あふれによる割込みが生じたりしない）ために導入すべき必要にして十分な“非数”をも含んだ“数の体系”を確定させる。（この際四則演算に関する対称性を重視する。）

(i)についてはMorris¹⁰⁾に類似の着想が認められ、またKnuthの本⁹⁾の演習問題（第4章2.1節の17番）にそのような方向への示唆があるが、本論文ではその可能性を徹底的に追求してみる。(ii)は(i)とほとんど独立な考え方で、Kahan等が部分的に論じているが⁸⁾、いくつかの妥当と考えられる前提のもとで必然的に一つの体系が確定されることを指摘する。

2. 基本的な考え方

2.1 指数部可変長方式とその一般化

実数 x の浮動小数点表現は、底を $\beta (=2, 4, 10, 16)$

[†] An Over Flow/Under Flow-free Floating-Point Representation of Numbers by SHOICHI MATSUI and MASAO IRI
(Department of Mathematical Engineering and Instrumentation Physics, Faculty of Engineering, University of Tokyo).

[‡] 東京大学工学部計数工学科

等) とするとき,

〈レベル 0〉

$$x = (-1)^{s_0} F \times \beta^{(-1)^{s_1} E_1} \quad (2.1)$$

の形をとる。 s_0, s_1 は 0 あるいは 1, E_1 は非負整数で, F は正規化条件

$$1 > F \geq 1/\beta \quad (2.2)$$

あるいは

$$\beta > F \geq 1 \quad (2.3)$$

を満たす実数である。(通常は前者が多く用いられるが, ここでは 2.3 で述べる要求をも考えて後者を採用する。) $x \neq 0$ に対して s_0, E_1, F は ($E_1 \neq 0$ なら s_1 も) 一意に定まる。固定語長の 1 語中に E_1 と F を表現する際いくらかの近似誤差が不可避であるとすればその誤差は F のみに負わせるのが明らかによい。(正規化条件の範囲で F が変化しても E_1 が ± 1 変化するよりも, x に及ぼす影響は小さいから。)

$|\log_{\beta}|x||$ が小さいうちは E_1 の桁数は少ないから, E_1 は少ないビット数で正確に表わせ, 1 語中の大きな部分を F に割当てることができる。 $|\log_{\beta}|x||$ が大きくなるにつれて, E_1 の桁数が増すので, それに割当てる部分が増加し, F に割当てる部分は次第に減少する。

E_1 だけで 1 語を占有するくらいに $|\log_{\beta}|x||$ が大きくなった後は, (2.1) の代わりに,

〈レベル 1〉

$$x = (-1)^{s_0} F \times \beta^{(-1)^{s_1} E_1 \times \beta^{E_2}} \quad (2.4)$$

という表示を採用する。このときには, F は“正規化条件を満たすある数”という情報しか有しない(これを表すための場所は不用)。 E_1, E_2 は(2.1)の表示をしたときの E_1 (これを E と書く)が

$$E_1 \times \beta^{E_2} \leq E < (E_1 + 1) \times \beta^{E_2} \quad (2.5)$$

を満足し, かつ E_1, E_2 が 1 語中に収まる範囲内で E_1 の桁数がなるべく大きくなるように選ぶ。

同様にして, 更に高次の“レベル”的表示に進むことができる。すなわち(2.4)において E_2 が 1 語を占めるに至った後には,

〈レベル 2〉

$$x = (-1)^{s_0} F \times \beta^{(-1)^{s_1} E_1 \times \beta^{E_2 \times \beta^{E_3}}} \quad (2.6)$$

という表示を採用する。ここで, F は“正規化条件を満たすある数”, E_1 は“条件

$$1 \leq E_1 < \beta^{E_2 \times \beta^{E_3 - 1}} \quad (2.7)$$

を満たすある数”, E_2, E_3 は(2.1)の表示をしたときの E_1 (これを E と記す)が

$$1 \times \beta^{E_2 \times \beta^{E_3}} \leq E < 2 \times \beta^{(E_2 + 1) \times \beta^{E_3 - 1}} \quad (2.8)$$

を満足し, かつ E_2 と E_3 が 1 語中に収まる範囲内で E_2 の桁数がなるべく大きくなるように選ぶ。レベル 3, 4, … も同様に定める。

実際には,

- (i) どのレベルで表示しているか,
- (ii) F と E に割当てられている場所の境界(レベル 0 の場合), E_i と E_{i+1} の境界(レベル $i (\geq 1)$ の場合)はどこか,

等のための情報も, 同じ語中に収めねばならない。

2.2 底の選択

浮動小数点表示の底 β については, いろいろな観点から現在では $\beta=2$ (2 進法) を採用するのが最良であるとされている^{1), 2)}。また, 「正規化数の先頭ビットが 1」ということを利用してビット数の候約をはかれることも見逃せない長所である。

2.3 符号付き絶対値表示の採用

上記の 2.1, 2.2 の原則の長所を發揮させるために, (2.1) の仮数部 $\pm F$, 指数部 $\pm E$ は, “補数表示”, “げたばき表示” 等ではなく, 符号付き絶対値表示でなければならない。これを正規化条件(2.3)と組み合わせることにより, 数の表示法にとって望ましい, 加法逆元, 乗法逆元に関する対称性¹¹⁾も確保できる。(指数部の絶対値が最大の数では $F=1$ であることに注意。)

2.4 丸めの方式

丸めの方式は特殊な目的(たとえば区間演算)を除けば四捨五入(2 進なら 0 捨 1 入)が良いから, これを採用する。他の丸めの方式でも本質的な差異は生じない。以下では“0 捨 1 入”を前提とする。

2.5 “非数”的役割

固定長の 1 語で区別できる数の個数は有限であるが一方ではいくらでも大きい(小さい)数が現れるので, “ある数よりも大きい(小さい)数”というようなものも 1 つの“数”として扱わざるを得ない。これいわば“ $\pm \infty$ ”のようなものである。これが不可避であるならば, これを積極的に“数”的体系に組み入れて, 四則演算に関して閉じた, “あふれ”が起きてても OS の厄介にならない体系を考えるのがよい。(このような方向への試みは Kahan⁸⁾にも見られるが, いくらかの曖昧性が残されている。) 四則演算に関する対称性を要請すれば, “非数”的体系は一意に確定する(4 を参照)。

3. 新浮動小数点方式の実現法

レベルを無限にとることは不可能であり、実際的にはどこかで打ち切らねばならない。本節ではレベル 0 の実現についてまず考察する。より高次のレベルについてもほぼ同じ方針で実現可能であろう。

3.1 レベル 0 の実現法

2進法で正規化条件(2.3)のもとで、(2.1)の形に数 $x(\neq 0)$ を表わせば、次の形のビット並びになる：

$$F = 1.f_2f_3\cdots f_m \quad (3.1)$$

$$E = 1e_{n-1}e_{n-2}\cdots e_2e_1 \quad (\text{あるいは } E=0) \quad (3.2)$$

そこで数 x を表わす情報としては、次の $L=m+n$ ビットが必要である：

$$s_0f_2f_3\cdots f_me_{n-1}e_{n-2}\cdots e_2e_1s_1$$

($n=1$ のときは $E=1$; $n=0$ のときは $E=0$ で s_1 は不用)。 L が固定されていれば、 n は $0, 1, \dots, L-1$ のいずれかの値をとる。仮数部 F と指数部 E との“境界”を示すこの値 n のために、 $\lceil \log_2 L \rceil$ ビットがさらに必要となる。そこで、

$$L + \lceil \log_2 L \rceil \quad (3.3)$$

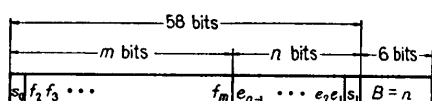
が 1 語長を超えないように L を選べばよい。数 x に対して、このような表現が一意に定まることは明らかである。(なお、理想的な“0”は本体系では“非数”として扱う。4を参照。)

3.2 具体的な実現例

1語 64 ビットの場合を具体的に考える。(3.3)の条件から、 $L=58$, $\lceil \log_2 L \rceil=6$ として図1のようなデータ構造を得る。

仮数部(の絶対値)の長さは 58~1 ビット(明示しない先頭ビットも含む)、指数部(符号も含む)の長さは 0~57 ビット($B=n \neq 0$ のとき明示していない先頭ビットも含む)となり、 $|x|$ が約 $10^{-10^{14}}$ から $10^{10^{14}}$ までの数 x がレベル 0 で表現可能である。(表現誤差については 5 参照。) B の値のうち 58~63 は無意味となるが、それらは(i)非数、(ii)高次レベルの数、等を表わすのに使用できる。

このような(内部)表現を持つ(レベル 0)の出力



仮数部 $(-1)^{s_0} F = (-1)^{s_0} \times (1.f_2f_3\cdots f_m)_2$

指数部 $(-1)^{s_1} E = (-1)^{s_1} \times (1e_{n-1}\cdots e_2e_1)_2$

$B=n$ は仮数部と指数部の境界を表わす。
($B=0, 1, \dots, 57$; $B=0$ のとき $E=0$)

図 1 新しい表現の浮動小数点数のデータ構造
(レベル 0)

Fig. 1 Data structure for a floating-point number in the proposed representation (level 0).

に際しては、印字幅のみを指定し、その内で指数部(10進整数)の場所をまず確保し、残りを(X.XX…の形に正規化された)仮数部に割当てればよい。(具体的には 6 の例を参照。)

数の入力の場合の表現は、従来許されている諸形式をすべて許容することとする。

4. 非数を含んだ数の体系

計算機で数値計算を行う際に扱う“数”は少なくとも四則演算に関して閉じた体系をなしている(演算が“合法的でない”ような被演算数の組があってもプログラムの正常な流れがそれによって妨げられない)ことが望ましい。そもそも“1語中に表現された数”は、数直線上の1点というよりは、ある区間(区間代数におけるようにそれを明示するかどうかは別として)を表わすと考えるべきである。2.3 で触れた四則演算に関する対称性の観点からすると、我々がまず考えるべき実数は $R^+ \cup R^-$ である。ここで

$$R^+ = \{\text{正の実数}\}, \quad R^- = \{\text{負の実数}\}. \quad (4.1)$$

3 の表現法では $R^+ \cup R^-$ の一部分が表現可能である。考えるべき区間の“型”としては少なくとも次のもの(および $\leq <$ でおきかえたもの)が必要である。

- (i) $\{x | a \leq x \leq b; a, b \in R^+\}$,
 $\{x | a \leq x \leq b; a, b \in R^-\}$;
- (ii) $\{x | a \leq x; a \in R^+\}$, $\{x | x \leq a; a \in R^-\}$;
- (iii) $\{x | 0 < x \leq a; a \in R^+\}$,
 $\{x | a \leq x < 0; a \in R^-\}$;
- (iv) $\{x | x \leq a \text{ or } b \leq x; a \in R^-, b \in R^+\}$;
- (v) $\{x | a \leq x \leq b; a \in R^-, b \in R^+\}$;
- (vi) R^+, R^- ;
- (vii) $R (= R^+ \cup R^- \cup \{0\})$.

なぜならば、基本的な型(i)から出発して演算を繰返すと上記のすべての型が生起する可能性があるからである。これらを、それぞれ

- (i) $+num, -num$;
- (ii) $+\infty, -\infty$;
- (iii) $+0, -0$;
- (iv) ∞ ;
- (v) 0 ;
- (vi) $+?, -?$;
- (vii) $?$

と略記し(図2), 型(i)以外のものを“非数”と呼ぶ。

3 の表現方式で表現可能な数は $\pm num$ の代表点であるとみなし、それらの間の演算は、代表点間の普通

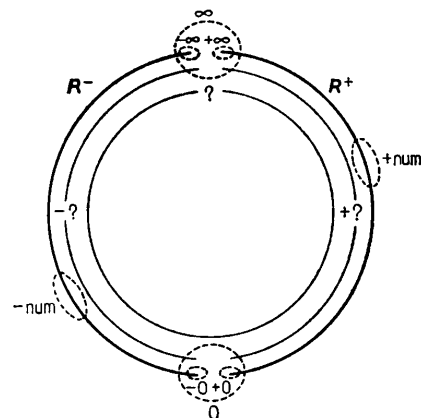


図 2 四則演算に関して閉じた数の体系の概念図

Fig. 2 Schematic diagram of the proposed number system including non-numbers.

の意味での演算と考え、演算結果は、

- a. 3 の方法で表現可能ならば（必要なら丸めを行った後） $\pm num$,

b. 絶対値が大きすぎて表現不能ならば $\pm\infty$,

c. 絶対値が小さすぎて表現不能ならば、

- c 1. 仮数部に符号の情報が残っていれば ± 0 ,
c 2. 仮数部に符号の情報が残っていないければ 0,

であると約束する。その他の非数がどのようにして出現するかを、また型(i)～(vi)を考えれば四則演算に関する閉じた体系が（厳密には“最小の体系”）得られることを、表1～4に示す。

数（および非数） x と y の大小関係は、上記 a, b, c および表2の減算の結果の約束を用いて、 $x-y$ の演算結果が+（あるいは-）の符号を有するとき $x>y$ ($x<y$) であると定義する。 $x=y$ は x と y が同一のビットパターンで表現されているときのみに限ることにする。こうすれば、たとえば $-\infty < -num < -0 < +0 < +num < +\infty$, $-num < 0 < +num$, $x < y, u < v$ なら $x+u < y+v$ 等は成立する。しかし、「 $x = y, u < v$ なら $x+u < y+v$ 」等が成立するとは限ら

表 1 非数を含んだ数の体系に対する加算表

Table 1 Addition table for the number system including non-numbers.

$op_2 \backslash op_1$	+num	-num	+∞	-∞	+0	-0	+?	-?	∞	?	0
+num	+num $\pm\infty$	$\pm num$ $\pm 0, 0$	$\pm\infty$	$-\infty$	+num	+num	+?	?	∞	?	+num
-num	$\pm num$ $\pm 0, 0$	-num $-\infty$	+∞	$-\infty$	-num	-num	?	-?	∞	?	-num
+∞	+∞	+∞	+∞	?	+∞	+∞	+∞	?	?	?	+∞
-∞	-∞	-∞	?	-∞	-∞	-∞	?	-∞	?	?	-∞
+0	+num	-num	+∞	-∞	0	0	?	?	∞	?	0
-0	+num	-num	+∞	-∞	0	-0	?	?	∞	?	0
+?	?	?	+∞	?	+?	?	+?	?	?	?	?
-?	?	-num	?	-∞	?	-?	?	-?	?	?	?
∞	∞	∞	?	?	∞	∞	?	?	?	?	∞
?	?	?	?	?	?	?	?	?	?	?	?
0	+num	-num	+∞	$-\infty$	0	0	?	?	∞	?	0

表 2 非数を含んだ数の体系に対する減算表

Table 2 Subtraction table for the number system including non-numbers.

$op_2 \backslash op_1$	+num	-num	+∞	-∞	+0	-0	+?	-?	∞	?	0
+num	$\pm num$ $\pm 0, 0$	+num $+\infty$	-∞	+∞	+num	+num	?	+?	∞	?	+num
-num	-num $-\infty$	$\pm num$ $\pm 0, 0$	-∞	+∞	-num	-num	-?	?	∞	?	-num
+∞	+∞	+∞	?	+∞	+∞	+∞	?	+∞	?	?	-∞
-∞	-∞	-∞	?	-∞	-∞	-∞	?	-∞	?	?	0
+0	-num	+num	-∞	+∞	0	+0	?	+?	∞	?	0
-0	-num	+num	-∞	+∞	-0	0	-?	?	∞	?	0
+?	?	+?	?	+∞	?	+?	?	+?	?	?	?
-?	-?	?	-∞	?	-?	?	-?	?	?	?	?
∞	∞	∞	?	?	∞	∞	?	?	?	?	∞
?	?	?	?	?	?	?	?	?	?	?	?
0	-num	+num	-∞	+∞	0	0	?	?	∞	?	0

表 3 非数を含んだ数の体系に対する乗算表
Table 3 Multiplication table for the number system including non-numbers.

op 2 \ op 1	+num	-num	+∞	-∞	+0	-0	+?	-?	∞	?	0
op 1	+num	-num	+∞	-∞	+0	-0	+?	-?	∞	?	0
+num	+num	-num	+∞	-∞	+0	-0	+?	-?	∞	?	0
-num	-num	+num	-∞	+∞	-0	+0	-?	+?	∞	?	0
+∞	+∞	-∞	+∞	-∞	+?	-?	+?	-?	∞	?	?
-∞	-∞	+∞	-∞	+∞	-?	+?	-?	+?	∞	?	?
+0	+0	-0	+?	-?	+0	-0	+?	-?	?	?	0
-0	-0	+0	-?	+?	-0	+0	-?	+?	?	?	0
+?	+?	-?	+?	-?	+?	-0	+0	-?	?	?	0
-?	-?	+?	-?	+?	-?	+?	-?	+?	?	?	?
∞	∞	∞	∞	∞	?	?	?	?	∞	?	?
?	?	?	?	?	?	?	?	?	?	?	?
0	0	0	?	?	0	0	?	?	?	?	0

表 4 非数を含んだ数の体系に対する除算表
Table 4 Division table for the number system including non-numbers.

op 2 \ op 1	+num	-num	+∞	-∞	+0	-0	+?	-?	∞	?	0
op 1	+num	-num	+∞	-∞	+0	-0	+?	-?	0	?	∞
+num	-num	-num	+0	-0	+∞	-∞	+?	-?	0	?	∞
+num	-num	+num	-0	+0	-∞	+∞	-?	+?	0	?	∞
+∞	+∞	-∞	+?	-?	+∞	-∞	+?	-?	?	?	∞
-∞	-∞	+∞	-?	+?	-∞	+∞	-?	+?	?	?	∞
+0	+0	-0	+0	-0	+?	-?	+?	-?	0	?	∞
-0	-0	+0	-0	+0	-?	+?	-?	+?	0	?	?
+?	+?	-?	+?	-?	+?	-?	+?	-?	?	?	?
-?	-?	+?	-?	+?	-?	+?	-?	+?	?	?	?
∞	∞	∞	?	?	∞	∞	?	?	?	?	∞
?	?	?	?	?	?	?	?	?	?	?	?
0	0	0	0	0	?	?	?	?	0	?	?

ない。

5. 表現誤差

ある実数 x に対応する代表点 x^* は、仮数部の最後の桁の次の桁を丸めた数であるとされている。(我々のレベル 0 の表示の場合もこうする。レベル 1 以上の場合にも、仮数部および指数部に対して同様な考え方を適用できる。) このとき、"相対誤差"

$$e_{\text{rep}}(x) = \frac{|x^* - x|}{|x|} \quad (5.1)$$

を x の表現誤差と呼ぶ。また、

$$u(x) = \max_y \{e_{\text{rep}}(y) \mid y \text{ は } x \text{ と同じ代表}\}$$

点 x^* を持つ} \quad (5.2)

を丸めの単位と呼ぶ。 β 進法で仮数部が l 衍のとき、

$$u(x) = \frac{1}{2} \beta^{1-l} \quad (5.3)$$

である。(丸めは四捨五入。) なお、非数 x については、 $e_{\text{rep}}(x)$ は定義されない(あるいは ∞ である)と

するのがよいであろう。(この意味でも、0 や ± 0 は非数とみなすのが適当である。)

異なる表現方式の特長を表現誤差、丸めの単位を用いて比較すると興味深い。1語長を 64 ビットと仮定し比較対象として以下の典型的なものを考える。

〈1〉 IBM 型:—16 進、仮数部 56 ビット(丸めは“切捨て”), 指数部 7 ビット(“げたばき”式), 符号 1 ビット。(“倍精度”実数型。)

〈2〉 Kahan 型:—2 進、仮数部 52 ビット(先頭ビットを隠すので実質的には 53 ビット; 丸めは“0 捨1入”), 指数部 11 ビット(“げたばき”式), 符号 1 ビット。(“倍精度数”⁸⁾.) (正規化すると under-flow するとき、それを遅らせるため“非正規化数”⁸⁾ も考える。)

〈3〉 Morris 型:—Morris の原論文¹⁰⁾の精度を 1 語長が 64 ビットの場合に改作したもの。2 進、“指数部長”を表わす部分 3 ビット(これが表わす数を $G (= 0, 1, \dots, 7)$ とする), 残り 61 ビットを仮数部、指

数部に割当てる(丸めは0捨1入)。指数部(符号つき絶対値表示)の長さは

- (i) $G+1$ (Morris (i)型)
- (ii) $G+4$ (Morris (ii)型)

の2通りの解釈が提案されている。

〈4〉 本論文の方式:—3.2 参照。レベル0を主として考える(丸めは0捨1入)。

正規化条件としては、〈1〉と〈3〉は(2.2)を、〈2〉と〈4〉とは(2.3)を用いる。

$|\log|x||$ が比較的小さい範囲での $e_{rep}(x)$ を図3に、広い範囲にわたっての $u(x)$ を図4に示す。

これらの図からもわかるように、本論文の方式は、“あふれ”が起こる“不連続点”がなく、“普通の大きさ”の数に対しては IBM 型、Kahan 型より誤差が小さく、数が極端に大きくあるいは小さくなってしまっても連續的に誤差が増加する形で対処している。このような点からみて、本方式は各種の表現方式を比較検討する際の一つの基準となりうるであろう。

6. 新体系による数値計算例

6.1 実験プログラム

本論文で提案した方式を3で述べた形で実現するプログラム(サブプログラム群)を東京大学の大型計算機センターの HITAC-8800/8700 システムの FORTRAN および教育用計算機センターの Melcom-Cosmo 900 の FORTRAN で作成した(現在、下記のものがある)。

- 1° 四則演算用サブルーチン(計約300行),
- 2° 入出力用関数副プログラム(計約200行),
- 3° 型変換(FORTRAN のデータと本体系の間の変換を用う)用関数幅プログラム(計約200行),
- 4° 平方根用関数副プログラム(約60行),
- 5° 助手サブルーチン群(比較、丸め、仮数部と指数部の分離と結合等の処理)(計約300行).

なお現在の版では非数は“0”だけが特殊なビットパターンとして含まれている。

プログラムは実験用であり、速度向上のための技巧を凝らしていないので、速度は遅いが(通常の倍精度実数型演算に比較して約600~1,000倍程度の時間を要する(HITACでの比較)),この点は大幅に改良の余地がある。特に演算回路を金物化した場合には、IBM型や Kahan 型の1割増し程度の時間で実現できる見込みがある。

6.2 数値計算例

極端に大きな数、小さな数が出現する典型的な数値計算の例として代数方程式の Graeffe 法¹³⁾による解を考えてみる。簡単のため、正の単純零点のみの多項式

$$\begin{aligned}
 P_1(x) = & x^8 - 11x^7 + 45.35x^6 - 88.55x^5 \\
 & + 86.7524x^4 \\
 & - 43.274x^3 + 10.984x^2 \\
 & - 1.32x + 0.0576 \\
 = & (x-0.1)(x-0.2)(x-0.3)(x-0.4) \\
 & \times (x-1)(x-2)(x-3)(x-4)
 \end{aligned} \quad (6.1)$$

および

$$\begin{aligned}
 P_2(x) = & x^4 - 10.43857593020613x^3 \\
 & + 40.58740567587410x^2 \\
 & - 69.60408570545396x
 \end{aligned}$$

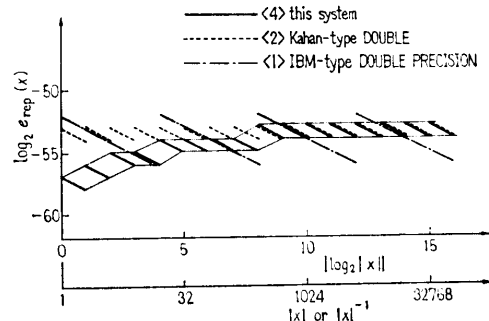


図3 各種表現方式による表現誤差 $e_{rep}(x)$ の比較

Fig. 3 Representation error $e_{rep}(x)$ of various systems.

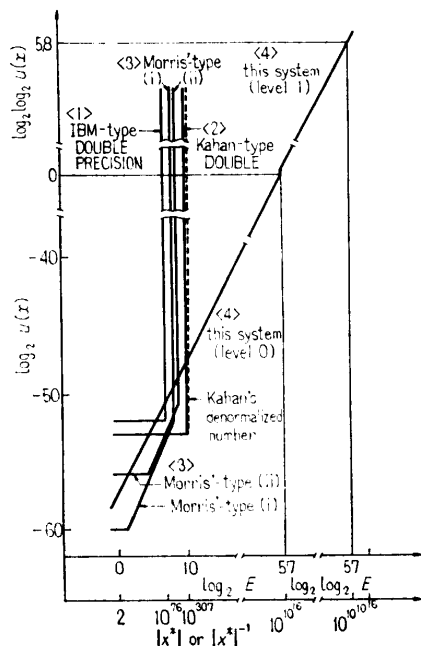


図4 各種表現方式による丸めの単位 $u(x)$ の比較

Fig. 4 Units of round-off $u(x)$ for various systems.

$$= (x-2)(x-e)(x-\sqrt{7.4})(x-3) \quad (6.2)$$

を考える。一般に、

$P(x) = x^n - a_{n-1}x^{n-1} + \cdots + (-1)^{n-1}a_1x + (-1)^na_0$
 の零点を α_i ($i=1, \dots, n$) とするとき、 $\alpha_i 2^n$ ($i=1, \dots, n$)
 を零点とする多項式

$$P^{(\nu)}(x) = x^n - a_{n-1}^{(\nu)} x^{n-1} + \cdots + (-1)^n a_0^{(\nu)} \quad (6.3)$$

は簡単な漸化式

$$\alpha_k^{(0)} = \alpha_k, \\ \alpha_k^{(\nu+1)} = \sum_{i+j=2k} (-1)^{k+i} \alpha_i^{(\nu)} \alpha_j^{(\nu)} (\nu=0, \dots) \quad (6.4)$$

で計算され、 α_i の近似値は

$$\alpha_i \doteq (\alpha_{i-1}^{(\nu)} / \alpha_i^{(\nu)})^{1/2\nu} \quad (6.5)$$

で計算できる。

$P_1(x)$ に対する反復計算の結果を図 5 に,

$P_2(x)$ に対するものを図 6 に示す.

図5においては $\nu=7$ くらいですべての零点が十分な精度で得られている。(その後無駄な反復を行っても精度が悪化していないことに注目すべきである。) IBM型のものでは $\nu=6$ くらいで破綻をきたす。

図6においては、近接零点があるため、必要な反復回数が増加し、また最終的に得られる零点の近似値の精度もいくらか劣る。しかし、本方式では $\nu=16$ くらいで、10進10桁の精度で零点が得られている。IBM型では $\nu=6$ くらいで破綻をきたし（そのときの近似零点の精度は最悪のものではわずか2桁）、Kahan型のものでも $\nu=7$ までしかもたない（そのときの近似零点の精度は、最悪のものでは2桁）。

7. 今後の課題

本論文では、新しい浮動小数点方式の基本的な着想を提案し、その特長を従来の諸方式と比較考察し、それを実現する試作プログラムによる数値計算例をあげた。しかしこ的方式については更に検討すべき課題が数多く残されているので、それらについて逐次検討結果を発表してゆきたい。主なものは次の通りである。

(i) 演算の金物化:—本来この種の方式は演算を金物化することによって始めてその特長が發揮できる。そのための演算回路の設計試作を行うこと、理論的には従来方式とほぼ同程度

の速度が得られる見込みがある。

(ii) 新表現方式に適した丸め誤差理論の確立：一本論文では数の表現に直接関連した誤差のみを論じたが、「表現誤差がほぼ一定」という従来の誤差理論¹³⁾の仮定の成立しない本方式における、四則その他の演算に伴う誤差の拡大、累積に関する理論を確立すること。従来の理論が“非数”的場合をも含めてどのように変更されるかを調べることは重要であろう。

(Ⅲ) 高次レベル、非数の実際的な取扱い:—非数やレベル1以上の入出力をどうするか、どのようにして実現するか、またどのくらいのレベルまで考えるべきか、等々について、理論・実際面から検討の余地がある。

Kahan型の限界	
$v = 1$	$v = 7$
3.317760000000000 EE-3	=A(1)
- 4.770432000000000 EE-1	=A(2)
1.639877247999999 EE 1	=A(3)
- 1.954100328000000 EE 2	=A(4)
8.294775057999999 EE 2	=A(5)
- 9.027198200000001 EE 2	=A(6)
2.820272999999999 EE 2	=A(7)
- 3.030000000000000 EE 1	=A(8)
8.339569428721113 EE-2	=ROOT(1)
- 1.705584280072372 EE-1	=ROOT(2)
2.896691579541276 EE-1	=ROOT(3)
- 4.853677957986566 EE-1	=ROOT(4)
9.585743805733726 EE-1	=ROOT(5)
- 1.7390817510527749 EEO	=ROOT(6)
3.0509739212180358 EEO	=ROOT(7)
5.5045435773001540 EEO	=ROOT(8)
$v = 5$	$v = 8$
2.15535826671273 EE-40	=A(1)
- 2.155358267214587 EE-8	=A(2)
5.01834615819841 EE 14	=A(3)
- 2.708485685104731 EE 31	=A(4)
1.46811384646935 EE 44	=A(5)
- 1.46811384698750 EE 44	=A(6)
3.4182262873171 EE 34	=A(7)
- 1.84485970981938 EE 19	=A(8)
9.999999999927237 EE-2	=ROOT(1)
1.999999985136727 EE-1	=ROOT(2) I
2.999999080036725 EE-1	=ROOT(3) B
4.000001255971383 EE-1	=ROOT(4) M
9.999999999727233 EE-1	=ROOT(5) 型
1.999999851374240 EEO	=ROOT(6) の
2.999999080036736 EEO	=ROOT(7) 限
4.0000012559713925 EEO	=ROOT(8) 界
$v = 6$	$v = 30$
4.64556925738690 EE-80	=A(1)
- 4.64556925738700 EE-16	=A(2)
2.51836814092956 EE 29	=A(3)
- 7.33409149605799 EE 62	=A(4)
2.15535826671271 EE 88	=A(5)
- 2.15535826671276 EE 88	=A(6)
1.168142205763348 EE 69	=A(7)
- 3.40228370534638 EE 38	=A(8)
9.999999999999997 EE-2	=ROOT(1)
1.999999999999983 EE-1	=ROOT(2)
2.999999999527234 EE-1	=ROOT(3)
4.00000000063081 EE-1	=ROOT(4)
9.999999999999996 EE-1	=ROOT(5)
1.999999999999981 EE-1	=ROOT(6)
2.9999999995272459 EEO	=ROOT(7)
4.000000000630799 EEO	=ROOT(8)
2.15813137299824 EE-159	=A(1)
- 2.1581313729848 EE-31	=A(2)
6.342173093180984 EE 56	=A(3)
- 5.3792017006758 EE 125	=A(4)
4.6455692578868 EE 176	=A(5)
- 4.64556925788700 EE 176	=A(6)
1.3652101047498 EE 138	=A(7)
- 1.15792089237327 EE 77	=A(8)
9.9999999999999997 EE-2	=ROOT(1)
2.0000000000000002 EE-1	=ROOT(2)
2.9999999999999998 EE-1	=ROOT(3)
4.0000000000000013 EE-1	=ROOT(4)
9.9999999999999995 EE-1	=ROOT(5)
2.0000000000000022 EEO	=ROOT(6)
2.99999999999999951 EEO	=ROOT(7)
4.0000000000000027 EEO	=ROOT(8)

図 5 $P_3(x)$ の零点を求める Graeffe 反復

Fig. 5 Iteration by the Graeffe method for $P_1(x)$

Kahan型の限界					
$v = 1$			$v = 7$		
1.96844544755123 EE 3 =A(1)			6.6662837510202 EE 210 =A(1)		
- 1.243233216278532 EE 3 =A(2)			- 1.9590447225817 EE 172 =A(2)		
2.829367444181849 EE 2 =A(3)			9.6227697791204 EE 116 =A(3)		
- 2.778905609893071 EE 1 =A(4)			- 1.17902661948570 EE 61 =A(4)		
1.2583031670278989 EEO =ROOT(1)			1.999999999999518 EEO =ROOT(1)		
2.0961947379335457 EEO =ROOT(2)			2.7045783330773281 EEO =ROOT(2)		
3.1908602092232556 EEO =ROOT(3)			2.7340770775614731 EEO =ROOT(3)		
5.2715326138544105 EEO =ROOT(4)			3.00000001622446730 EEO =ROOT(4)		
<hr/>					
$v = 5$			$v = 16$		
5.08125451548211 EE 52 =A(1)			6.7375701284 EE 107941 =A(1)		
- 1.18320169534957 EE 43 =A(2)			- 3.36284975669 EE 88213 =A(2)		
3.02539330106157 EE 29 =A(3)			4.01365489311 EE 59751 =A(3)		
- 2.01284256209763 EE 15 =A(4)			- 4.15479228694 EE 31268 =A(4)		
1.999031360575824 EEO の 限 界			1.9999999999999518 EEO =ROOT(1)		
2.6592468559773725 EEO =ROOT(2)			2.7182818285951764 EEO =ROOT(2)		
2.7735140870227926 EEO =ROOT(3)			2.7202941016100686 EEO =ROOT(3)		
3.0077660744101009 EEO =ROOT(4)			3.00000000000000009399 EEO =ROOT(4)		
<hr/>					
$v = 6$			$v = 30$		
2.5819147451107 EE 105 =A(1)			- 1.577772 EE 1768518918 =A(1)		
- 1.39965879601065 EE 86 =A(2)			- 3.759240 EE 1445290421 =A(2)		
4.3898173247593 EE 58 =A(3)			2.5108124 EE 978970272 =A(3)		
- 3.44645651957942 EE 30 =A(4)			- 2.0511859 EE 512305046 =A(4)		
1.9999999998191536 EEO =ROOT(1)			1.9999999999999518 EEO =ROOT(1)		
2.6899448172248597 EEO =ROOT(2)			2.7182818285951764 EEO =ROOT(2)		
2.7487913512249691 EEO =ROOT(3)			2.7202941016100686 EEO =ROOT(3)		
3.0001740432911321 EEO =ROOT(4)			3.00000000000000009399 EEO =ROOT(4)		

図 6 $P_i(x)$ の零点を求める Graeffe 反復Fig. 6 Iteration by the Graeffe method for $P_i(x)$.

8. おわりに

本研究に関しては、非公式研究会などにおいて、電気通信大学教授森口繁一先生、慶應大学教授相磯秀夫先生ほか多くの方々から貴重なご助言を賜り、また研究室の方々からも有用な討論をいただいた。それらに基づいて内容の多くの部分を改良することができた。ここに記して、感謝の意を表す次第である。

なお、本研究は文部省科学研究費の援助による部分を含んでいる。

参考文献

- Brent, R. P.: On the Precision Attainable with Various Floating-Point Number System. IEEE Trans. on Computers, Vol. C-22, No. 6, pp. 601-607 (1973).
- Cody, W. J., Jr.: Static and Dynamic Numerical Characteristics of Floating-Point Arithmetic. IEEE Trans. on Computers, Vol. C-22, No. 6, pp. 598-601 (1973).
- Edger, A. D. and Lee, S. C.: FOCUS: Microcomputer Number System, Comm. ACM, Vol. 22, No. 3, pp. 166-177 (1979).
- Hamming, R. W.: On the Distribution of Numbers. The Bell System Technical Journal, Vol. 40, No. 8, pp. 1609-1625 (1970).
- Herner, E. C. R. and Horspool, R. N. S.: A New Representation of the Rational Numbers for Fast Easy Arithmetic. SIAM J. on Computing, Vol. 8, No. 2, pp. 124-134 (1979).
- 一松信: 新標準浮動小数点体系の提案, 情報処理. Vol. 20, No. 9, pp. 793-797 (1979).
- Ida, T. and Goto, E.: Over-flow Free and Variable Precision Computing in FLATS. Journal of Information Processing, Vol. 1, No. 3, pp. 140-142 (1978).
- Kahan, W. and Palmer, J.: On a Proposed Floating-Point Standard, ACM SIGNUM Newsletter, Special Issue, pp. 13-21 (Oct. 1979).
- Knuth, D. E.: The Art of Computer Programming, Vol. 2: Seminumerical Algorithms. Addison-Wesley, Reading, Massachusetts (1969).
- Morris, R.: Tapered Floating Point: A New Floating-Point Representation. IEEE Trans. on Computers, Vol. C-20, No. 6, pp. 1678-1679 (1973).
- Reinsh, C. H.: Principle and Preference for Computer Arithmetic. ACM SIGNUM Newsletter, Vol. 14, No. 1, pp. 12-27 (1979).
- Swartzlander, E. E., Jr., and Alexopoulos, A. G.: The Sign/Logarithm Number System. IEEE Trans. on Computers, Vol. C-24, No. 12, pp. 1238-1242 (1975).
- Wilkinson, J. H.: Rounding Errors in Algebraic Processes. Prentice-Hall, Englewood Cliffs (1963).

(昭和 55 年 3 月 14 日受付)

(昭和 55 年 4 月 22 日採録)

訂 正

Vol. 21, No. 4, pp. 306~313 開載の松井, 伊理の論文「あふれのない浮動小数点表示方式」中の以下の誤りを訂正いたします。

i) p.309 右下から 2, 3 行目

誤: 「 $x < y, u < v$ なら $x+u < y+v$ 」 正: 「 $x < y, y < z$ なら $x < z$ 」

ii) p.310 左上から 8 行目の式 (5.1)

誤: $e_{rep}(x) = \frac{|x^* - x|}{|x|}$ 正: $e_{rep}(x) = \max_y \left\{ \frac{|x^* - y|}{|y|} \mid y \text{ は } x \text{ と同じ代表点を持つ} \right\}$

iii) p.310 左下から 5 行目の式 (5.2)

誤: $u(x) = \max_y \{e_{rep}(y) \mid y \text{ は } x \text{ と同じ代表点 } x^* \text{ を持つ}\}$

正: $u(x) = \max_y \{e_{rep}(y) \mid y \text{ は } x \text{ と同じ指数を持つ}\}$